



بررسی درصد دز عمقی باریکه‌های فوتونی و وابستگی آن به آهنگ دز در دزیمتر ژلی - پلیمری نورمکسیک PAGAT با استفاده از تکنیک ام.آر.آی

بختیار آزادبخت^{*۱}, کمال حداد^۲, محمدحسن زحمت‌کش^۳

۱- دانشکده مهندسی، دانشگاه آزاد اسلامی واحد بروجرد، صندوق پستی: ۵۱۸، بروجرد - ایران

۲- دانشکده مهندسی هسته‌ای، دانشگاه شیراز، صندوق پستی: ۷۱۹۴۶-۸۴۷۱، شیراز - ایران

۳- انسٹیتو پرتو پزشکی نوین تهران، صندوق پستی: ۱۴۶۶۵-۵۹۹، تهران - ایران

چکیده: برای تعیین درصد دز عمقی باریکه‌های فوتونی با انرژی‌های مختلف در دزیمتر ژلی - پلیمری نورمکسیک PAGAT و وابستگی آن به آهنگ دز با استفاده از تکنیک ام.آر.آی از مواد و ترکیبات شیمیایی با درصددهای وزنی زیر استفاده شده است: ۴.۵ درصد بیس N-N' میتلن - بیس - آکریل آمید ۴.۵ درصد آکریل آمید، ۵ درصد ژلاتین، ۵ میلی‌مول تراکیس، ۰.۱ میلی‌مول هیدروکینون و ۸۶ درصد آب دو بار تقطیر شده. برای تابش دهی ویال‌ها از فوتون‌های ^{60}Co دستگاه درمانی سری Theratron-۷۸۰C^۶ است. انسٹیتو پرتو پزشکی نوین تهران و شتاب‌دهنده خطی الکتا بیمارستان نیروی هوایی تهران استفاده شده است. تصویربرداری با استفاده از یک سیستم ام.آر.آی ساخت شرکت زیمنس به قدرت ۱.۵T انجام شده است. تمام ژل‌های پلیمری یک روز پس از ساخت، پرتودهی شده و یک روز بعد از پرتودهی با استفاده از سیستم ام.آر.آی تصویربرداری شده‌اند. در تعیین درصد دز عمقی در ژل پلیمری نورمکسیک PAGAT، برای انرژی‌های بالاتر، فوتون‌ها تمایل به نفوذ بدون پراکندگی در ماده داشته و پراکندگی فوتون‌ها نیز رو به جلو می‌باشد. میزان دز عمقی باریکه‌های فوتونی ^{60}Co در عمق ۵cm، ۰.۵cm درصد بوده و برای عمق ۲۱cm این مقدار به ۴۸ درصد کاهش یافته است و برای فوتون‌های ۶MV و ۱۸MV شتاب‌دهنده میزان دز عمقی بیشینه برای عمق ۲۱cm، به ترتیب، به مقادیر ۵۲٪، ۵۷٪ و ۵۹٪ درصد کاهش یافته است و این نشان می‌دهد که برای انرژی‌های بالاتر میزان تجمع دز در فواصل عمقی بیشتر خواهد بود. بررسی حساسیت ژل PAGAT به آهنگ دز نشان داد که با تغییر آهنگ دز از ۸۰cGy/min به ۴۸۰cGy/min تغییری در مقادیر آهنگ و اهلش عرضی، R₂، مشاهده نشده است. به عبارت دیگر این نشان می‌دهد که ژل پلیمری PAGAT به آهنگ دز وابسته نبوده و در نتیجه می‌توان برای بالا بردن سرعت پرتودهی و کاهش زمان پرتودهی از آهنگ‌های دز بالاتر استفاده نمود.

واژه‌های کلیدی: دزیمتر ژلی - پلیمری، ژل پلیمری نورمکسیک PAGAT درصد دز عمقی، آهنگ دز

Investigation of Percentage Depth Dose (PDD) and Dose Rate Dependence of PAGAT Polymer Gel Dosimeter for Photon Beams Using MRI Technique

B. Azadbakht^{*1}, K. Hadad², M.H. Zahmatkesh³

1- Faculty of Engineering, Borujerd Islamic Azad University, P.O.Box: 518, Borujerd - Iran

2- Faculty of Engineering, Shiraz University, P.O.Box: 71946-84471, Shiraz - Iran

3- Novin Medical Radiation Institute, P.O.Box: 14665-599, Tehran - Iran

Abstract: In this work, the investigation of the normoxic PAGAT polymer-gel dosimeter percentage depth dose (PDD) and its dose rate dependence has been made. Using MRI, the formulation to give the maximum change in the transverse relaxation rate R₂ was determined to be 4.5% N,N'-methylene-bis-acrylamide(bis), 4.5% acrylamid (AA), 5% gelatine, 5mM tetrakis (hydroxymethyl) phosphonium chloride (THPC), 0.01 mM hydroquinone (HQ) and 86% HPLC(Water). Irradiation of vials was performed using photon beams of Co-60 therapy unit and an Electa linear accelerator. Gel dosimeters were imaged in a Siemens Symphony 1.5 Tesla clinical MRI scanner using a head coil. Post-manufacture irradiation and post imaging times were both selected to be 1 day. For determining the percentage depth dose of the PAGAT gel it was found that at the depth of 21cm, the percentage depth dose for 1.25 MeV γ -ray photons of ^{60}Co and for 4.6 and 18 MV x-ray photons of Electa linear accelerator, are 48%, 52%, 57.3% and 59.73%, respectively. Thus, in the case of the higher energy photon beams, a higher dose can be delivered to deep-seated tumors. The dose rate dependence of PDD was studied for 6 MV x-ray photons with the use of dose rates of 80, 160, 240, 320, 400 and 480cGy/min. No trend in polymer-gel dosimeter 1/T₂ dependence was found on the mean dose rate and energy for the photon beams.

Keywords: Polymer-Gel Dosimeter, PAGAT Normoxic Polymer Gel, PDD, Dose Rate

*email: azad_bakhtiar@yahoo.com

تاریخ دریافت مقاله: ۸۸/۲/۱۰ تاریخ پذیرش مقاله: ۸۸/۱۱/۱۲



۱- مقدمه

فضایی دز جذبی در دزیمتر را حفظ می‌کند [۲]. در دزیمترهای فریک، غلظت یون‌های فریک و در ژلهای پلیمری غلظت تراکم پلی‌مرها است که به دز جذب شده بستگی دارد. با وجود این که بسیاری از محققین در توسعه ژلهای فریک بیش‌تر تلاش کرده‌اند ولی امروزه تمایل به ژلهای پلی‌مری بیش از ژلهای فریک است و این به خاطر پخش یون‌های فریک در ژل فریک است که کارآیی و کاربری آن را محدود می‌سازد. ژلهای فریک از زمان شروع تابش تا پایان اندازه گیری دز در میدان‌های عملی از چند گانه و یا محیط‌هایی که چشم‌دارای خروجی پایین تابشی چند گانه و یا محیط‌هایی که چشم‌دارای خروجی پایین است، می‌گردد. اثرات پخش را می‌توان به طور نسبی و با استفاده از روش‌های واپیچش^(۱) ولی با عدم قطعیت بالا تصحیح کرد [۲]. مشکلات مربوط به پلی‌مری‌زاپیون و ضرورت شرایطی مانند کم‌اکسیژنی^(۲) در ژلهای پلی‌مری^(۳) PAG باعث شد که این ژلهای توسعه یافته و با به کارگیری و استفاده از ترکیباتی مثل PAGAT^(۴) آنتی‌اکسیدان‌ها یک ژل پلی‌مری نورموکسیک مثل THPC^(۵) به ساخته شود. این کار با اضافه کردن تتراکیس^(۶) PAG در شرایط محیطی عنوان یک آنتی‌اکسیدان به ژل پلی‌مری PAG در شرایط محيطی دما و فشار معمولی انجام شد [۴، ۵ و ۷].

در مطالعات مربوط به ژل PAGAT نقش‌های مختلف مواد شیمیایی تشکیل‌دهنده مورد بررسی قرار گرفته و غلظت‌های مختلف مواد، حساسیت و خطی بودن دزیمتر بعد از پرتوگیری بررسی شده است [۴]. ژل PAGAT برخلاف سایر ژلهای پلی‌مری، نیاز به محیط بدون اکسیژن و شرایط کم‌اکسیژنی ندارد. مواد تشکیل‌دهنده دزیمترهای ژلی-پلی‌مری عبارت‌اند از آب (با بیش‌ترین مقدار و حدود ۸۰-۹۰٪)، مونومرها و عامل ژل‌کننده (ژلاتین، آگارز و ...). که برای ثبت تراکم پلی‌مری ایجاد شده و به منظور حفظ توزیع فضایی دز جذبی استفاده می‌شود. برای ژلهای نورموکسیک که می‌توان آن‌ها را در شرایط معمولی اکسیژن ساخت یک ماده‌ی ضد اکسایش نیز اضافه می‌شود (معمولًاً با غلظت از مرتبه‌ی میکرومول) [۲ تا ۸]. وابستگی چندانی به آهنگ دز در استفاده از آن. آر برای دزیمتری با ژلهای پلی‌مری مشاهده نشده است اگر چه پاسخ دز به دمایی که در آن دما دزیمتر مورد استفاده قرار می‌گیرد بستگی

دزیمترهای ژلی-پلی‌مری، دسته‌ی جدیدی از دزیمترها هستند که در انواع مختلف پرتو درمانی‌های جدید قابل استفاده‌اند [۱]. دزیمترهای ژلی تنها دزیمترهای سه‌بعدی واقعی هستند. دزیمتر به طور هم‌زمان هم فانتوم هست و هم می‌تواند توزیع دز را در هندسه‌ی کامل سه بعدی اندازه گیری کند [۲ تا ۵]. دزیمترهای ژلی دزیمترهای جمع‌کننده‌ی دز با قابلیت حفظ توزیع فضایی دز در درون خود هستند و انعطاف‌پذیری شکل، از آن‌ها دزیمتر منحصر به فردی ساخته است که برای بررسی توزیع دزهای پیچیده، چنان که در شرایط کلینیکی مشاهده می‌شود، بالقوه پیار مناسب‌اند. نتایج به دست آمده نیاز به ضرایب تصحیح ندارند. این ژلهای را می‌توان معادل بافت نرم در نظر گرفت.

خاصیت سه‌بعدی دزیمترهای ژلی-پلی‌مری مهم‌ترین مزیت آن‌ها برای بازبینی روش‌های درمانی به کمک باریکه‌ی فوتونی است. از نظر تئوری به کمک دزیمترهای ژلی می‌توان توزیع دز را به صورت سه‌بعدی در هر نقطه حتی در فواصل کم‌تر از یک میلی‌متر از چشم به دست آورد [۶]. از دیگر مزایای دزیمترهای ژلی نسبت به سایر دزیمترها این است که اجازه می‌دهند بازبینی جامعی از تمام پرتو درمانی‌های متعارف مانند تصویربرداری یا تعريف اندام داشته باشیم [۳]. توزیع سه‌بعدی دز ثبت شده در ماتریس شیمیایی دزیمتر ژلی به روش‌های تصویربرداری اندازه گیری می‌شود. در این دزیمتر در آغاز محلول مونومرها در ماتریس دزیمتر معلق می‌باشد. این مونومرها بعد از تابش دیدن با توجه به مقدار تابش پلی‌مریزه می‌گردند. سپس تصویر دوبعدی یا سه‌بعدی این مونومرها به روش‌های رایج تصویربرداری تهیه می‌گردد و بعد از درجه‌بندی، توزیع دز تابش محاسبه می‌شود. بنابراین، دزیمترهای ژلی-پلی‌مری نامزد بسیار خوبی برای بازبینی دزهای سه‌بعدی می‌باشند.

عواملی مانند دقت، حساسیت، زمان مورد نیاز برای دزیمتری، قابلیت سه‌بعدی بودن و قیمت باعث شده‌اند که این روش دزیمتری نسبت به روش‌هایی مانند TLD، اتفاک‌های یونش و فیلم دزیمتری به حالت آرمانی نزدیک‌تر باشد [۱ تا ۷]. در حال حاضر دو نوع دزیمتر ژلی قابل شناخت هستند. ژلهای فریک که براساس دزیمتری فیزیک کار می‌کنند و ژلهای پلی‌مری. هر دو سیستم شامل یک ماتریس دارای هیدروژل هستند که توزیع



۲-۲ فانتوم‌ها

در این تحقیق از دو نوع فانتوم یکی برای بررسی حساسیت ژل PAGAT به آهنگ دز و دیگری برای تعیین درصد دز عمقی استفاده شده است. فانتوم به کار رفته برای بررسی حساسیت دزیمتر ژلی- پلیمری PAGAT به آهنگ دز، ویال‌هایی از جنس پرسپکس به شعاع 5cm ، ارتفاع 15cm و حجم 15cm^3 بودند. و برای تعیین درصد دز عمقی از فانتوم‌های استوانه‌ای به شعاع 1cm ، ارتفاع 25cm و حجم 100cm^3 استفاده شده است. پس از شستن فانتوم‌ها با آب مقطور و خشک کردن آن‌ها، ژل آماده شده به آرامی در آن‌ها ریخته شد تا این که کاملاً بر شدند. پس از ریختن ژل درب ورودی آن‌ها توسط چسب نواری کاملاً بسته شده و در یخچال در دمای 4°C درجه‌ی سانتی‌گراد نگهداری شدند.

۳-۲ روش‌های پرتودهی

۱-۳-۲ پرتودهی با استفاده از سیستم پرتودهی ^{60}Co

در پرتودهی با استفاده از سیستم پرتودهی ^{60}Co انتیتو پرتو پژوهشی نوین تهران محدوده‌ی دز استفاده شده از 50~T_{a} با عمق $20\text{cm} \times 20\text{cm}$ و فاصله‌ی چشمۀ از سطح 100cm استفاده شد. برای بررسی حساسیت ژل PAGAT به آهنگ دز، فانتوم‌ها در یک تانک آب به ابعاد $20\text{cm} \times 25\text{cm} \times 20\text{cm}$ جای‌گذاری، و برای تعیین درصد دز عمقی بر حسب عمق، فانتوم‌ها در یک تانک آب به ابعاد $10\text{cm} \times 10\text{cm} \times 30\text{cm}$ به صورت ایستاده بر روی سطح تخت درمان مقابله چشمۀ قرار داده شدند.

۲-۳-۳ تابش‌دهی به کمک شتاب‌دهنده‌ی خطی

برای بررسی پاسخ دزیمتر ژلی- پلیمری نورمکسیک PAGAT در مواردی نظر تعیین درصد دز عمقی، تغییر آهنگ واهلش عرضی R_2 با آهنگ دز و مقایسه‌ی نتایج با مورد Co-60 و 18MV پرتودهی فانتوم‌ها توسط پرتوهای ایکس 4°C و 6°C شتاب‌دهنده‌ی خطی الکتا⁽⁷⁾ بیمارستان نیروی هوایی تهران انجام پذیرفت. هنگام پرتودهی توسط پرتوهای ایکس شتاب‌دهنده همانند پرتوهای گامای سیستم پرتودهی ^{60}Co ، تمام فانتوم‌های مربوط به آزمایش بررسی حساسیت ژل PAGAT به آهنگ دز،

دارد [6]. در این تحقیق درصد دز عمقی⁽⁶⁾ با انرژی‌های مختلف و تغییر آهنگ واهلش عرضی R_2 با آهنگ دز در ژل پلیمری نورمکسیک PAGAT بررسی شده است.

۲- بخش تجربی

۱-۲ مواد و روش‌ها

۱-۱-۲ ساخت ژل PAGAT

برای ساختن ژل PAGAT از مواد و ترکیبات شیمیایی با درصدۀای وزنی زیر استفاده شده است: $4/5$ درصد N,N' -متیلن-بیس-آکریل آمید، $4/5$ درصد N,N' -متیلن-بیس-آکریل آمید، 5 درصد ژلاتین، 5 میلی‌مول تراکیس، $0/1$ میلی‌مول هیدروکینون و 86 درصد آب دو بار تقطیر شده [7]. ابتدا ژلاتین در آب دوبار تقطیر شده خیسانده شده و توسط دستگاه هم‌زن معناطیسی هم‌زده شد، تا این که دمای آن به 49°C رسید. پس از شفاف شدن محلول ژلاتین، ابتدا N,N' -متیلن-بیس-آکریل آمید اضافه گردید. در پودر سفیدرنگ N,N' -متیلن-بیس-آکریل آمید یک قطعه‌ی به هم چسبیده وجود داشت که در حین توزین مشاهده نشده بود و حل شدن‌ش زمان زیادی طول کشید. پس از انحلال آن، پودر آکریل آمید به محیط اضافه شده و تا انحلال کامل هم‌زده شد. در نهایت با اضافه کردن هیدروکینون و تراکیس ژل PAGAT آماده شد. جدول ۱ مقایر و درصدۀای وزنی ترکیبات شیمیایی به کار رفته برای تهییه 100ml ژل PAGAT را نشان می‌دهد.

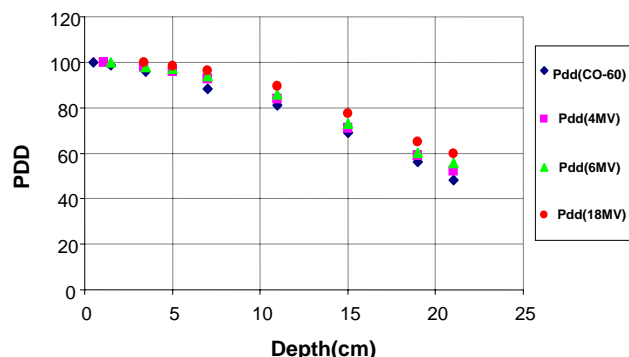
جدول ۱- مقادیر و درصدۀای وزنی ترکیبات شیمیایی به کار رفته برای تهییه 100ml ژل PAGAT

Component	Quantity	
Gelatine (300Bloom)	5%	5gr
N,N' -methylen-bis-acrylamide (bis)	4.5%	4.5gr
Acrylamide (AA)	4.5%	4.5gr
Tetrakis-phosphonium chloride (THPC)	5mM	0.088cc
Hydroquinone (HQ)	0.01mM	0.11cc
HPLC (Water)	86%	86ml



جدول ۲- پروتکل تصویربرداری استفاده شده با سیستم ام.آر.آی کلینیک نور.

PARAMETERS	
Field of view (FOV) {mm}	256
Marrix size (MS)	512×512
Slice Thickness (d) {mm}	4
Repetition Time (TR) {ms}	3000
Echo Time (TE) {ms}	20
Number of Slices	1, 2, 3, 4
Number of Echoes	32
Total Measurement Time {min}	25-30
Resolution {mm}	0.5
Band With {Hz/Pixel}	130



شکل ۱- درصد دز عمقي فوتون های با انرژی های مختلف در ژل پلی مرنی نورمکسیک .PAGAT

همان طور که در شکل ۱ مشاهده می شود برای آن که به صورت عملی بتوان از دز عمقي استفاده نمود بهتر است آن را به صورت درصد بیان کرد. باید توجه داشت که درصد دز عمقي به خروجی دستگاه بستگی ندارد. خروجی یک دستگاه پرتو ایکس ممکن است با تعویض لوله تغییر کند، همچنان که شتاب دهنده های خطی معمولاً خروجی های متفاوتی دارند و فعالیت چشممه های پرتو گاما نیز به علت واپاشی، با گذشت زمان کاهش می یابد. هیچ کدام از این تغییرات نمی توانند بر میزان درصد دز عمقي تأثیر بگذارند. درصد دز عمقي بنا به تعریف برابر است با

$$PDD = \frac{D_d}{D_{dm}} \times 100 = \frac{R_d}{R_{dm}} \times 100$$

که در آن، dm عمق مرجع است یعنی عمقی که در آن دز بیشینه است، که در آب و محیط های معادل آن برای پرتوهای گامای ۱/۲۵MeV و پرتوهای ایکس ۶، ۴ و ۱۸MV به ترتیب، برابر ۰/۵، ۰/۱، ۰/۱ و ۰/۳ cm می باشد.

عوامل مؤثر در تعیین درصد دز عمقي عبارت اند از: عمق، نوع پرتو، میدان تابش، فاصله هی چشممه از سطح و انرژی پرتو. در این

در یک تانک آب به ابعاد ۲۰cm×۲۵cm×۲۰cm جای گذاری شدند و برای پرتودهی، از میدان SSD=۱۰۰cm استفاده شد. برای تعیین درصد دز عمقي بحسب عمق، فانتوم ها به صورت عمودی در یک تانک آب به ابعاد ۱۰cm×۱۰cm×۳۰cm برای پرتودهی از میدان ۲۰cm×۲۰cm با آهنگ ۴۰۰cGy/min و SSD=۱۰۰cm استفاده شد.

۲- تصویربرداری

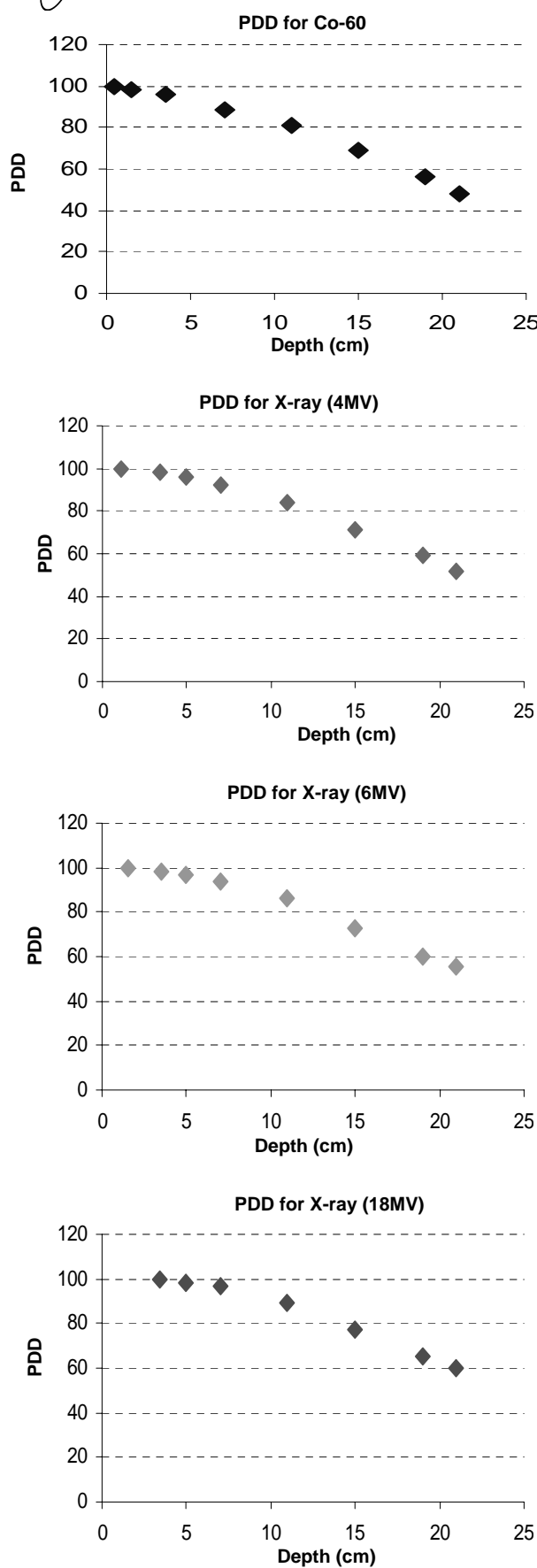
بعد از پرتودهی، تمام دزیمترهای ژلی-پلی مرنی در داخل یک تانک آب به ابعاد ۲۰cm×۲۵cm×۲۰cm قرار داده شده و برای هم دما شدن با اتاق به داخل اتاق ام.آر.آی انتقال داده شدند. سیستم تصویربرداری استفاده شده یک دستگاه ام.آر.آی با قدرت T ۱/۵ و ساخت کشور آلمان بود. با توجه به اساس کار که بر رابطه ای بین دز و R2 استوار بوده از پروتکل مندرج در جدول ۲ استفاده شده است.

۳- پردازش و تحلیل داده ها

پس از تصویربرداری، تصاویر به یک کامپیوتر شخصی انتقال داده شده و توسط نرم افزار MATLAB در نقاط مختلف با کشیدن پیکسل های کوچک مقادیر آهنگ واهلش عرضی R2 آن نقاط مشخص شد. سعی بر آن بود پیکسل ها از نقاطی انتخاب شوند که دارای انحراف معیارهای کمتری بودند. در نهایت از آهنگ های واهلش عرضی R2 به دست آمده از این پیکسل ها میانگین گیری و به عنوان آهنگ واهلش عرضی R2 نهایی آن دز گزارش شدند.

۴- نتایج

۱- تعیین درصد دز عمقي در ژل پلی مرنی نورمکسیک PAGAT در انرژي های مختلف برای تعیین درصد دز عمقي در ژل پلی مرنی نورمکسیک PAGAT، ۴ نمونه فانتوم با پرتوهای گامای ۱/۲۵MeV و پرتوهای ایکس ۶، ۴ و ۱۸MV تا دز ۲۵ گری پرتودهی شدند. با برابر ۱۰۰٪ قرار دادن مقدار R2 بیشینه خوانده شده در نقطه تجمع، مقادیر خوانده شده برای سایر نقاط بهنجار شدند. شکل ۱ نمودار درصد دز عمقي را نشان می دهد.



شکل ۲- درصد دز عمقی در ژل PAGAT برای پرتوهای گامایی $1,25\text{MeV}$ و پرتوهای ایکس $4,6$ و 18MV

تحقیق و همان سان که از شکل ۱ مشخص است برای تعیین درصد دز عمقی تحت شرایط یکسان فاصله چشم از سطح، نوع پرتو و اندازه میدان پرتودهی و انرژی پرتو مورد بررسی قرار گرفته است. دز عمقی ابتدا به سرعت افزایش می‌یابد و پس از رسیدن به یک بیشینه به صورت تقریباً نمایی رو به کاهش می‌گذارد. برای انرژی‌های بالاتر، فوتون‌ها تمایل به نفوذ بدون پراکندگی در ماده داشته و پراکندگی فوتون‌ها رو به جلو می‌باشد. بنابراین با افزایش انرژی و تحت شرایطی که در بالا گفته شد میزان دز عمقی برای پرتوهای گامای $1,25\text{MeV}$ در عمق 5cm برابر 100 درصد بوده و برای عمق 21cm این مقدار به 48 درصد کاهش یافته است و برای فوتون‌های ایکس $4,6$ و 18MV دز عمقی بیشینه برای عمق 21cm به ترتیب، به 52 و $57/3$ و $59/73$ درصد کاهش یافته است. این نشان می‌دهد که برای تومورهای عمقی در صورتی که بخواهیم از دز بالاتری در تابش دهی استفاده کنیم، باید به انرژی‌های بالاتر روی بیاوریم. بنابراین در ژل پلیمری نورمکسیک PAGAT که معادل بافت نرم می‌باشد برای عمق $3/4\text{cm}$ دز عمقی بیشینه‌ی برابر با 100 درصد مربوط به پرتوهای ایکس 18MV می‌باشد. این مقدار برای پرتو گامای Co^{60} برابر 96 درصد بود. برای عمق 21cm در مورد پرتوهای ایکس 18MV مقدار دز عمقی برابر $59/73$ درصد می‌باشد که این مقدار برای پرتوهای گامای Co^{60} برابر 48 درصد بود. این نشان می‌دهد که برای انرژی‌های بالاتر میزان تجمع دز در فوائل عمقی بیشتر خواهد بود. شکل ۲، درصد دز عمقی در ژل پلیمری نورمکسیک PAGAT را برای پرتوهای گامای $1,25\text{MeV}$ و پرتوهای ایکس $4,6$ و 18MV به طور جداگانه نشان می‌دهد.

۲-۳- بررسی حساسیت ژل PAGAT به آهنگ دز در این مرحله 6 فانتوم استوانه‌ای به شعاع‌های 5cm ، 12cm و حجم 15cm^3 ، پر شده با ژل PAGAT ساخته شد و یک روز بعد توسط پرتوهای ایکس 6MV و تا دز 20 گری با آهنگ دزهای $1,20, 220, 320, 400, 480\text{cGy/min}$ پرتو دهی و یک روز بعد تصویربرداری شدند. مقادیر $R2$ یا $T2/T1$ زمان واهلش عرضی ناشی از غیرهم‌فاز شدن اسپین‌ها برای آهنگ دزهای مختلف به دست آمد. شکل ۳ تغییرات آهنگ واهلش عرضی $R2$ با آهنگ دز برای ژل PAGAT را نشان می‌دهد.



۴- نتیجه‌گیری

نتایج این تحقیق نشان داد که مقدار دز عمقی در مورد پرتوهای گامای Co^{60} در عمق 0.5cm برابر 100 cGy/min درصد بوده و در عمق 21cm این مقدار به 48% درصد کاهش می‌یابد. برای پرتوهای ایکس 4MV و 18MV حداکثر مقدار دز عمقی برای عمق 21cm به ترتیب، به 52% و 57.3% درصد کاهش یافته است. با توجه به نتایج به دست آمده، به این نتیجه رسیدیم که برای فواصل عمقی در صورتی که بخواهیم از دز بالاتری در تابش دهی استفاده شود، باید از انرژی‌های بالاتر استفاده کنیم و به طور کلی می‌توان گفت میزان تجمع دز برای انرژی‌های بالاتر در فواصل عمقی بیشتر است. نتایج به دست آمده برای درصد دز عمقی در دزیمتر PAGAT با نتایج نوووتنی و همکارانش برای درصد دز عمقی در ژل BANG-۲ هم خوانی دارد [۹]. همچنین نتایج حاصل از این تحقیق با نتایج پاپاس و همکارانش قابل مقایسه است [۱۰، ۱۱].

در بررسی حساسیت ژل PAGAT نسبت به آهنگ دز، مقدار R_2 برای تمام آهنگ‌ذها ثابت بود و تغییری مشاهد نشد (مقدار حساسیت از مرتبه $4 \times 10^{-7}\text{ s}^{-1}\text{ Gy}^{-1}$ بود که کاملاً قابل چشم‌پوشی است). با توجه به این که دزیمتر ژلی-پلیمری PAGAT به آهنگ دز حساس نیست، بنابراین می‌توان نتیجه گرفت که در ژل PAGAT برای بالا بردن سرعت پرتودهی و کاهش زمان پرتودهی در کارهای کلینیکی می‌توان از آهنگ‌های بالاتر دست آمد. این کار با نتایج به دست آمده توسط نوووتنی و همکارانش بر روی ژل BANG-۲ و ماریانسکی و همکارانش بر روی ژل BANG هم خوانی دارد [۹، ۱۰، ۱۱].

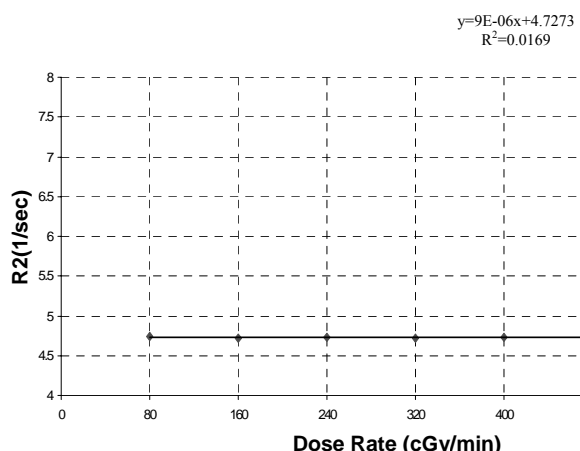
پی‌نوشت‌ها:

- ۱- Deconvolution
- ۲- Hypoxic
- ۳- PAG: Polyacryl Amid Gelatine
- ۴- PAGAT: Polyacryl Amid Gelatine Agarose and Tetrakis
- ۵- THPC: Tetrahydroxymethyl Phosphonium Chloride (tetrekis)
- ۶- PDD: Percentage Depth Dose
- ۷- Elekta

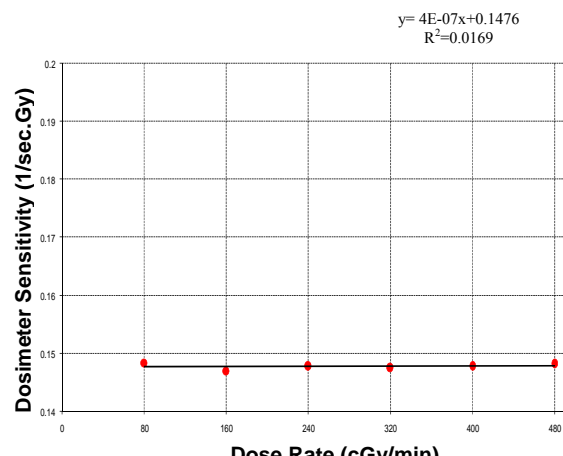
همان طور که از شکل ۳ پیدا است مقدار آهنگ واهلش عرضی R_2 برای تمام آهنگ‌ذها ثابت بوده و تغییری در آن مشاهد نمی‌شود. بنابراین می‌توان نتیجه گرفت که در ژل PAGAT برای بالا بردن سرعت پرتودهی و کاهش زمان پرتودهی در کارهای کلینیکی می‌توان از آهنگ‌های دز بالاتر استفاده نمود. شبب ورودی به خروجی دزیمتر را حساسیت می‌نماید. حساسیت در این دزیمتر از رابطه‌ی زیر محاسبه شده است

$$\text{Dosimeter Sensitivity} = \frac{R_2 - R_2(0)}{D}$$

که در آن R_2 آهنگ واهلش عرضی اندازه‌گیری شده برای دز D و $R_2(0)$ آهنگ واهلش عرضی زمینه یا آهنگ واهلش عرضی R_2 برای دز صفر می‌باشد. شکل ۴ نشان می‌دهد که این دزیمتر به آهنگ دز حساس نیست (در واقع میزان حساسیت آن $10^{-7}\text{ s}^{-1}\text{ Gy}^{-1}$ است که قابل چشم‌پوشی است).



شکل ۳- تغییرات آهنگ واهلش عرضی R_2 با آهنگ دز برای ژل پلیمری PAGAT نورمکسیک.



شکل ۴- بررسی وابستگی حساسیت ژل PAGAT به آهنگ دز.

**References:**

1. M. Oldham, S. Kumar, J. Wong, D.A. Jaeffray, "Optical-CT gel-dosimetry I:Basic investigation," *Med. phys.* 30(4), 623-634 (April 2003).
2. E.B. Podgorsak, [Editor of] "Radiation oncology physics: a handbook for teachers and students," ISBN. 92-0-107304-6, International Atomic Energy Agency (IAEA), Austria (2005).
3. K. Vergote, "Development of polymer gel dosimetry for applications in intensity-modulated radiotherapy," PhD. Thesis. Department of Radiotherapy and Nuclear Medicine, Faculty of Medicine and Health Sciences, University of Gent, Belgum (2005).
4. A.J. Venning, S. Brindha, B. Hill, C. Baldock, "Preliminary study of a normoxic PAG gel dosimeter with tetrakis (hydroxymethyl) phosphonium chloride as an antioxidant," Third International Conference on Radiotherapy Gel Dosimetry. *Journal of Physics: Conference Series*, 155-158, 3(2004).
5. M.H. Zahmatkesh, R. Kousari, Sh. Akhlaghpour, S.A. Bagheri, "MRI gel dosimetry with methacrylic acid. Ascorbic acid. Hydroquinone and Copper in Aharose (MAGICA) gel," Preliminary Proceedings of DOSGEL. Sep. 13-16, Ghent. Belgum (2004).
6. Y. De Deen, N. Reynaert, C. De Wagter, "On the accuracy of monomer/polymer gel dosimetry in the proximity of high-dose-rate Ir192source," *Phys. Med Biol.* 46, 2801-2825 (2001).
7. A.J. Venning, B. Hill, S. Brindha, B.J. Healy, C. Baldock, "Investigation of the PAGAT polymer gel dosimeter using magnetic resonance imaging," *Phys. Med. Biol.* 50, 3875-3888 (2005).
8. B. Hill, A. Venning, C. Baldock, "The dose response of normoxic polymer gel dosimeters measured using X-ray CT," *The British Journal of Radiology*, 78, 623-630 (2005).
9. J. Novotny, V. Spevacek, P. Dvorak, T. Cechak, "Energy and dose rate dependence of BANG-2 polymer-gel dosimeter," *Med. Phys.* 28, 0094-2405 (2001).
10. E. Pappas, A. Angelopoulos, P. Kipouros, L. Vlachos, S. Xenofos, I. Seimenis, "Evaluation of the performance of VIPAR polymer gels," *Med. Phys. Biol.* 48, N65-N73 (2003).
11. M.J. Maryanski, G.S. Ibbott, P. Estman, R.J. Schulz, J.C. Gore, "Radiation therapy dosimetry using magnetic resonance imaging of polymer gels," *Med. Phys.* 23, 699-705 (1996).